

ABINIT-MP



FMOプログラムABINIT-MPの「不老」Type I 向け改良について

○望月祐志^{1,2}（ABINIT-MP取り纏め役）
中野達也³、坂倉耕太⁴、渡邊啓正⁵、土居英男¹
片桐孝洋⁶

1:立教大、2:東大生研、3:国立衛研、4:FOCUS
5:HPCシステムズ、6:名大

謝辞：JHPCN jh210036-NAH&jh2200010課題 / 富士通SS研-A64FXアプリWG

FMO法とABINIT-MPプログラム

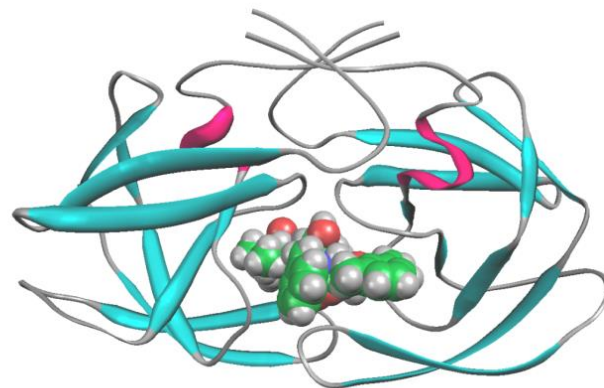
フラグメント分子軌道 (FMO) 法

◇巨大分子系

生体高分子や凝集系では一般的

⇒ タンパク質、DNA (水和状態)

数千～数万原子、数千～数十万軌道



【HIVプロテアーゼとロピナビル】

◇分割&統合系のアプローチの一つ

北浦らが23年程前に2体展開で提案

⇒ フラグメントとその対で系のエネルギーを評価 (FMO2)

⇒ 環境静電ポテンシャル (ESP)、直接結合切断 (BDA)

⇒ **階層的な並列処理** (フラグメントリスト&内部処理)

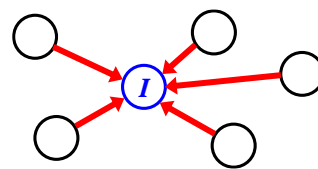
⇒ 定量性を高める**電子相関**の導入も直截

フラグメント間の相互作用エネルギー (**IFIE**)

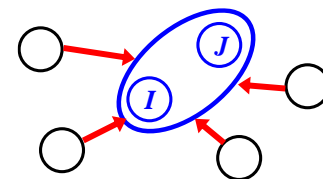
⇒ **計算対象の解析ツール**

⇒ 生物物理や創薬に向く

⇒ 材料系にも適用可能



モノマー (アミノ酸単位など)



ダイマー

FMO計算のためのプログラム

◇GAMESS-US [米国Gordonグループ]; Fedorov、Gordon、北浦ら
GAUSSIANに抗し得る有力なフリーソフト、世界規模 (Fortran)
⇒ 様々な機能をFMO化、多彩な計算、GDDI並列

◇ABINIT-MP; 望月、中野ら

実用機能は十分、東大系PJ・CREST-PJなどで開発 (Fortran)

⇒ IOレス、MPI、OpenMP/MPI混成並列、スパコンと好相性

◇PAICS; 石川

FMO-MP2(RI)に特化 (C)

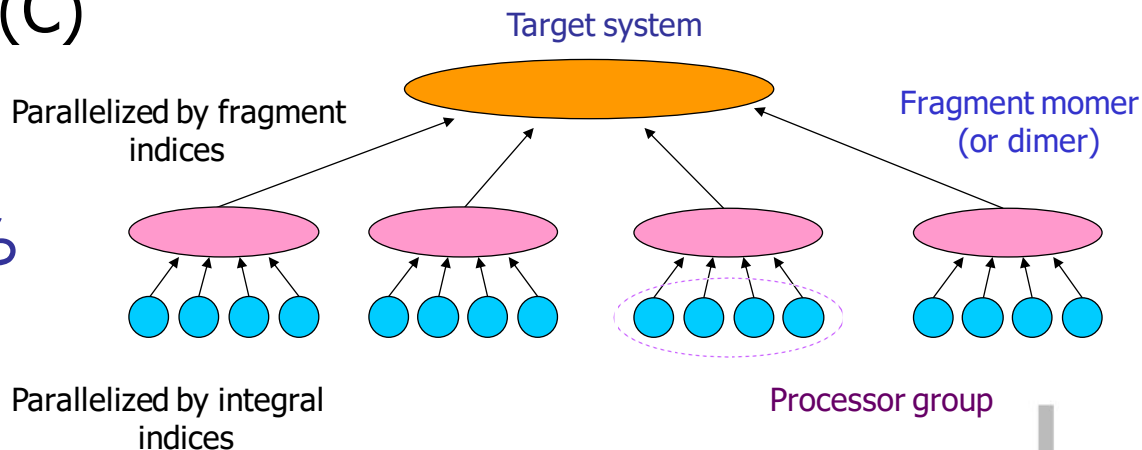
⇒ MPI並列

◇OpenFMO; 稲富、鬼頭ら

FMO-HF (C)

⇒ 超並列指向

2階層の並列処理で計算資源を有効利用



ABINIT-MPの主な機能（オープンシリーズとして整備中）

http://www.cenav.org/abinit-mp-open_ver-2-rev-4/



ABINIT-MP Openシリーズ (Ver.2 Rev.4)

※2020年6月版(Ver.1 Rev.22)に関するページはこちらです

はじめに

フラグメント分子軌道 (FMO) 計算のプログラムABINIT-MP [1,2]のOpenシリーズは、2021年度にVer. 2系に移行しました。Ver. 2系では、これまで通りの機能の拡充に加え、常用されるメラープレセット2次摂動 (MP2) レベルのジョブの「富岳」(理研) などの富士通A64FX系スーパーコンピュータでの数倍を凌いだ高速化、ならびに将来的には数万フラグメントの系を扱える大規模化対応が進められています。

Open Ver. 1 (ポスト「京」のPJで整備)

- Rev. 5 (2016年12月)
- Rev. 10 (2018年2月)
- Rev. 15 (2019年3月)
- Rev. 22 (2020年6月); 当面は併存

Open Ver. 2 (「富岳」の時代に移行)

- Rev. 4 (2021年9月)
- Rev. 8 (2023年3月を予定)

(注記: Ver. 2系では、BioStation Viewer へのデータファイルの書出しを廃止した)

・エネルギー

- FMO4: HF, MP2
- FMO2: HF~CCSD(T), LRD
- FMO2: CIS/CIS(D)

・エネルギー微分

- FMO4: HF, MP2
- FMO2: MP2構造最適化, MD

・その他機能

- SCIFIE, PB, sp2-BDA, $\alpha(\omega)$
- 電子密度生成, CAFI, FILM

・並列化環境(PC~スパコン)

- MPI, OpenMP/MPI混成
- 最深部はBLAS処理

基本のHF計算

$$\mathbf{F}^x \mathbf{C}^x = \mathbf{S}^x \mathbf{C}^x \boldsymbol{\varepsilon}^x \quad \mathbf{F}^x = \mathbf{H}^x + \mathbf{G}^x \quad \Leftrightarrow \text{HFの一般化固有値問題 (要反復計算)}$$

$$H_{\mu\nu}^x = H_{\mu\nu}^{\text{core } x} + V_{\mu\nu}^x + \sum_k B_k \langle \mu | \theta_k \rangle \langle \theta_k | \nu \rangle \quad V_{\mu\nu}^x = \sum_{K \neq x} (u_{\mu\nu}^K + v_{\mu\nu}^K) \quad \Leftrightarrow \text{1電子部分の修飾}$$

$$u_{\mu\nu}^K = \sum_{A \in K} \langle \mu | (-Z_A / |\mathbf{r} - \mathbf{A}|) | \nu \rangle \quad v_{\mu\nu}^K = \sum_{\lambda\sigma \in K} P_{\lambda\sigma}^K (\mu\nu | \lambda\sigma) \quad \Leftrightarrow \text{環境静電ポテンシャル (ESP)}$$

$$P_{\mu\nu} = 2 \sum_{i=1}^{\text{occ}} C_{\mu i}^* C_{\nu i} \quad G_{\mu\nu}^x = \sum_{\lambda\sigma \in x} P_{\lambda\sigma}^x \left[(\mu\nu | \lambda\sigma) - \frac{1}{2} (\mu\sigma | \lambda\nu) \right] \quad \Leftrightarrow \text{2電子部分 } O(N^4) \text{ (並列処理)}$$

高速化のための幾つかの工夫

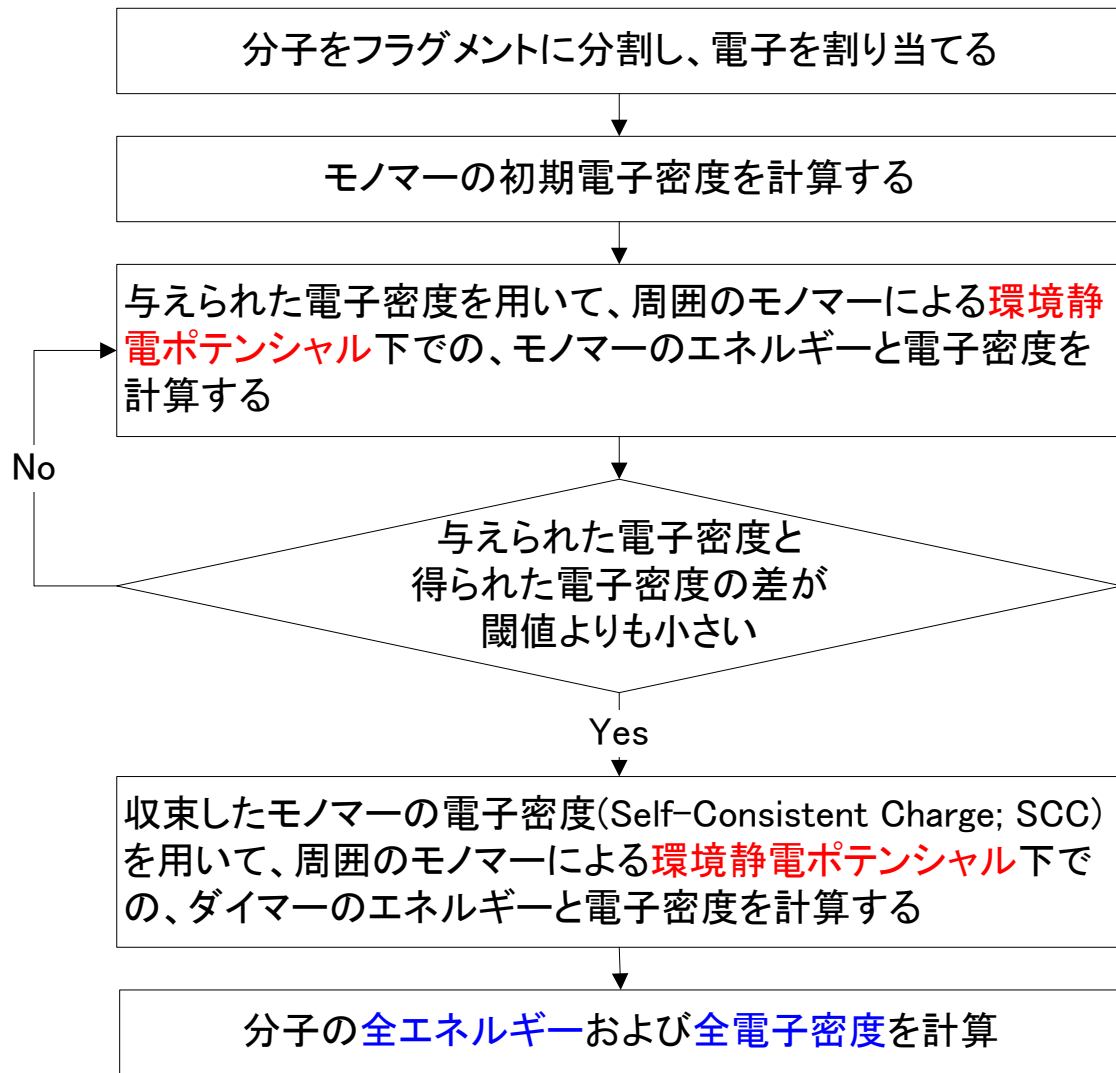
$$V_{\mu\nu}^L \cong \sum_{\lambda \in L} (\mathbf{P}^L \mathbf{S}^L)_{\lambda\lambda} (\mu\nu, \lambda\lambda) \quad \text{for } R_{\min}(X, L) \geq L_{\text{aoc}} \quad \Leftrightarrow \text{ESP-AOC近似 (実用精度高し)}$$

$$V_{\mu\nu}^L \cong \sum_{A \in L} \langle \mu | (Q_A / |\mathbf{r} - \mathbf{A}|) | \nu \rangle \quad \text{for } R_{\min}(X, L) \geq L_{\text{ptc}} \quad Q_A = \sum_{\lambda \in A} (\mathbf{P}^L \mathbf{S}^L)_{\lambda\lambda} \quad \Leftrightarrow \text{ESP-PTC近似 (速い)}$$

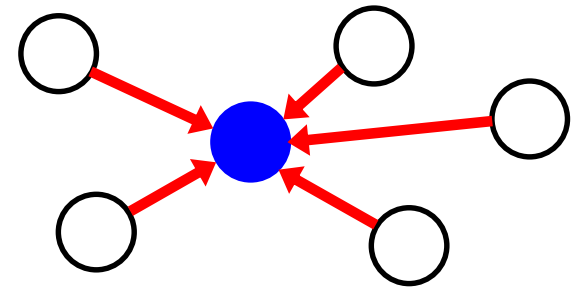
$$E'_{IJ} \cong E'_I + E'_J + \text{Tr}(\mathbf{P}^I \mathbf{u}^J) + \text{Tr}(\mathbf{P}^J \mathbf{u}^I) + \sum_{\mu\nu \in I} \sum_{\lambda\sigma \in J} \mathbf{P}_{\mu\nu}^I \mathbf{P}_{\lambda\sigma}^J (\mu\nu | \lambda\sigma) \quad \Leftrightarrow \text{Dimer-ES近似 (HF計算無)}$$

種々の工夫により、FMO2の計算コストのシステムサイズ依存性は2乗より低い

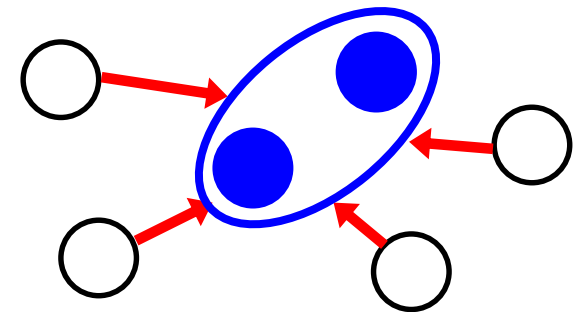
FMO-HF計算の流れ



モノマーの段階で自己無撞着電荷を課すのが特徴



モノマー



ダイマー

2電子積分の生成について#1

- ・ 小原のVertical Recurrence Relation (VRR)がベース
- ・ ジェネレータでF90コード群を自動生成（微分も）

中野氏

TABLE I. Recurrence expressions* for the electron repulsion integrals over s and p Cartesian Gaussian functions.

$$\begin{aligned}
 (ss, ss)^{(0)} &= (\zeta + \eta)^{-1/2} K(\zeta_a, \zeta_b, \mathbf{A}, \mathbf{B}) K(\zeta_c, \zeta_d, \mathbf{C}, \mathbf{D}) F_0(T) \\
 (p_i s, ss)^{(0)} &= (P_i - A_i)(ss, ss)^{(0)} + (W_i - P_i)(ss, ss)^{(1)} \\
 (p_i s, p_k s)^{(0)} &= (Q_k - C_k)(p_i s, ss)^{(0)} + (W_k - Q_k)(p_i s, ss)^{(1)} \\
 &\quad + \frac{\delta_{ik}}{2(\zeta + \eta)} (ss, ss)^{(1)} \\
 (p_i p_j, ss)^{(0)} &= (P_j - B_j)(p_i s, ss)^{(0)} + (W_j - P_j)(p_i s, ss)^{(1)} \\
 &\quad + \frac{\delta_{ij}}{2\zeta} \left\{ (ss, ss)^{(0)} - \frac{\rho}{\zeta} (ss, ss)^{(1)} \right\} \\
 (p_i p_j, p_k s)^{(0)} &= (Q_k - C_k)(p_i p_j, ss)^{(0)} + (W_k - Q_k)(p_i p_j, ss)^{(1)} \\
 &\quad + \frac{1}{2(\zeta + \eta)} \left\{ \delta_{ik}(sp_j, ss)^{(1)} + \delta_{jk}(p_i s, ss)^{(1)} \right\} \\
 (p_i p_j, p_k p_l)^{(0)} &= (Q_l - D_l)(p_i p_j, p_k s)^{(0)} + (W_l - Q_l)(p_i p_j, p_k s)^{(1)} \\
 &\quad + \frac{1}{2(\zeta + \eta)} \left\{ \delta_{il}(sp_j, p_k s)^{(1)} + \delta_{jl}(p_i s, p_k s)^{(1)} \right\} \\
 &\quad + \frac{\delta_{kl}}{2\eta} \left\{ (p_i p_j, ss)^{(0)} - \frac{\rho}{\eta} (p_i p_j, ss)^{(1)} \right\} \\
 (i, j, k, l = x, y, z)
 \end{aligned}$$

* For the definition of the variables, see the text.

SCHEME I.

(First step)

```

DO ICS = 1, n_CS  loops for the contracted shells
DO JCS = 1, ICS
DO IPS = 1, m_ICS  loops for the primitive shells
DO JPS = 1, m_JCS
The calculation of the parameters P, ζ, and K(ζ, ζ', R, R')
for each pair of primitive shells
CONTINUE

```

(Second Step)

```

DO IPPS = 1, N_PPS  a loop for the first pair of primitive shells
DO JPSS = 1, IPPS  a loop for the second pair of primitive shells
The evaluation of ERI's
CONTINUE

```

- ・ Gauss型関数の角運動量の昇降を利用
- ・ 並列化は短縮シェルの対のループで

$$G_{ijk:\alpha}(r) = Nx^i y^k z^l \exp(-\alpha r^2)$$

2電子積分の生成について#2

- ・ 軌道タイプの組み合わせに応じて個別のルーチンに
- ・ 高い軌道角運動量のルーチンの最深部ループは長い
- ・ 微分も同様に組み合わせ毎（_gradが付く）

sub_dddd.F90	sub_dfsf.F90	sub_dspp.F90	sub_fffs.F90	sub_fsf.F90	sub_pfdf.F90	sub_ppsp.F90	sub_sdps.F90	sub_sppd.F90
sub_ddd.F90	sub_dfsp.F90	sub_dsps.F90	sub_ffpd.F90	sub_fsff.F90	sub_pfdp.F90	sub_ppss.F90	sub_sdsd.F90	sub_sppf.F90
sub_ddd.F90	sub_dfss.F90	sub_dssd.F90	sub_ffpf.F90	sub_fsf.F90	sub_pfds.F90	sub_psdd.F90	sub_sdsf.F90	sub_sppp.F90
sub_ddd.F90	sub_dpdd.F90	sub_dssf.F90	sub_ffpp.F90	sub_fsf.F90	sub_pffd.F90	sub_psd.F90	sub_sdsp.F90	sub_spps.F90
sub_ddd.F90	sub_dpdf.F90	sub_dssp.F90	sub_ffps.F90	sub_fspd.F90	sub_pfff.F90	sub_psdp.F90	sub_sds.F90	sub_spsd.F90
sub_ddd.F90	sub_dpdp.F90	sub_dsss.F90	sub_ffsd.F90	sub_fspf.F90	sub_pffp.F90	sub_psd.F90	sub_sfd.F90	sub_spsf.F90
sub_ddd.F90	sub_dpds.F90	sub_fddd.F90	sub_ffsf.F90	sub_fsp.F90	sub_pffs.F90	sub_psf.F90	sub_sfd.F90	sub_spsp.F90
sub_ddd.F90	sub_dpfd.F90	sub_fddf.F90	sub_ffsp.F90	sub_fsp.F90	sub_pfpd.F90	sub_psf.F90	sub_sfd.F90	sub_sps.F90
sub_ddd.F90	sub_dpff.F90	sub_fddp.F90	sub_ffss.F90	sub_fssd.F90	sub_pfpf.F90	sub_psf.F90	sub_sfd.F90	sub_spsd.F90
sub_ddd.F90	sub_dpff.F90	sub_fdds.F90	sub_fppd.F90	sub_fssf.F90	sub_pfps.F90	sub_psf.F90	sub_sfd.F90	sub_spsd.F90
sub_ddd.F90	sub_dpfs.F90	sub_fdfd.F90	sub_fpdf.F90	sub_fssp.F90	sub_pfps.F90	sub_psp.F90	sub_sfd.F90	sub_spsd.F90
sub_ddd.F90	sub_dppd.F90	sub_fdff.F90	sub_fpd.F90	sub_fsss.F90	sub_pfsd.F90	sub_psp.F90	sub_sfd.F90	sub_spsd.F90
sub_ddd.F90	sub_dppf.F90	sub_fdfp.F90	sub_fpds.F90	sub_pddd.F90	sub_pfsf.F90	sub_psp.F90	sub_sfd.F90	sub_spsd.F90
sub_ddd.F90	sub_dppp.F90	sub_fdfs.F90	sub_fpdf.F90	sub_pddf.F90	sub_pfsp.F90	sub_psp.F90	sub_sfd.F90	sub_spsd.F90
sub_ddd.F90	sub_dpps.F90	sub_fdp.F90	sub_fpff.F90	sub_pddp.F90	sub_pfss.F90	sub_pssd.F90	sub_sfd.F90	sub_spsd.F90
sub_ddd.F90	sub_dpsd.F90	sub_fdpf.F90	sub_fpfp.F90	sub_pdds.F90	sub_ppdd.F90	sub_pssf.F90	sub_sfd.F90	sub_spsd.F90
sub_ddd.F90	sub_dpsf.F90	sub_fdp.F90	sub_fpfs.F90	sub_pdf.F90	sub_ppdf.F90	sub_pssp.F90	sub_sfd.F90	sub_spsd.F90
sub_ddd.F90	sub_dpsp.F90	sub_fdp.F90	sub_fppd.F90	sub_pdff.F90	sub_ppdp.F90	sub_psss.F90	sub_sfd.F90	sub_spsd.F90
sub_ddd.F90	sub_dpss.F90	sub_fdsd.F90	sub_fppf.F90	sub_pdfp.F90	sub_ppds.F90	sub_sddd.F90	sub_sfd.F90	sub_spsd.F90
sub_ddd.F90	sub_dsdd.F90	sub_fdsf.F90	sub_fppp.F90	sub_pdfs.F90	sub_ppdf.F90	sub_sddf.F90	sub_sfd.F90	sub_spsd.F90
sub_ddd.F90	sub_dsd.F90	sub_fdsp.F90	sub_fpps.F90	sub_pdpd.F90	sub_ppff.F90	sub_sddp.F90	sub_sfd.F90	sub_spsd.F90
sub_ddd.F90	sub_dsdp.F90	sub_fdss.F90	sub_fpsd.F90	sub_pdpf.F90	sub_ppfp.F90	sub_sdds.F90	sub_sfd.F90	sub_spsd.F90
sub_ddd.F90	sub_dsd.F90	sub_ffdd.F90	sub_fpsf.F90	sub_pdp.F90	sub_ppfs.F90	sub_sdfd.F90	sub_sfd.F90	sub_spsd.F90
sub_ddd.F90	sub_dsf.F90	sub_ffdf.F90	sub_fpsp.F90	sub_pdp.F90	sub_pppd.F90	sub_sdff.F90	sub_sfd.F90	sub_spsd.F90
sub_ddd.F90	sub_dsf.F90	sub_ffdp.F90	sub_fps.F90	sub_pdp.F90	sub_pppf.F90	sub_sdfp.F90	sub_sfd.F90	sub_spsd.F90
sub_ddd.F90	sub_dsf.F90	sub_ffds.F90	sub_fspd.F90	sub_pdp.F90	sub_pppp.F90	sub_sdfs.F90	sub_sfd.F90	sub_spsd.F90
sub_ddd.F90	sub_dsf.F90	sub_fffd.F90	sub_fsd.F90	sub_pdp.F90	sub_ppps.F90	sub_sdpd.F90	sub_sfd.F90	sub_spsd.F90
sub_ddd.F90	sub_dsf.F90	sub_ffff.F90	sub_fsd.F90	sub_pdp.F90	sub_ppsd.F90	sub_sdpf.F90	sub_sfd.F90	sub_spsd.F90
sub_ddd.F90	sub_dsf.F90	sub_ffff.F90	sub_fsd.F90	sub_pdp.F90	sub_ppsf.F90	sub_sdp.F90	sub_sfd.F90	sub_spsd.F90

■ 相関エネルギー補正のMP2のアルゴリズム2種

Loop over i -batch [parallelizable when needed]

Loop over σ [to be parallelized for worker processes]

Loop over λ

Generate $(\mu\nu, \lambda|\sigma)$ list [canonical relation for $\mu\nu$]

Do 1/4 transformation of $\mu \rightarrow i$ [screening & DAXPY]

Do 2/4 transformation of $\nu \rightarrow a$ [DDOT]

Do 3/4 transformation of $\lambda \rightarrow j$ [screening & DAXPY]

End of loop over λ

Do 4/4 transformation for $\sigma \rightarrow b$ [screening & DAXPY]

End of loop over σ ["all-reduce" must be done for $(ia|jb)$]

Calculate partial MP2 energy

End of loop over i -batch

Loop over ij -batch ! size depending on available memory

Loop over σ ! to be parallelized

Loop over λ

Preparing $(\mu\nu|\lambda\sigma)$! for canonical $\mu\nu$ -pair

Forming $(i\nu|\lambda\sigma)$! DGEMM, fixed $\lambda\sigma$, running over μ

Forming $(ia|\lambda\sigma)$! DGEMM, fixed $\lambda\sigma$, running over ν

Forming $(ia|j\sigma)$! DGEMM, fixed σ , direct-product for fixed λ

End of loop over λ

Forming $(ia|jb)$! DGEMM, direct-product for fixed σ

End of loop over σ ! all-reduce operation as barrier

Calculate partial MP2 energy with respect to ij -batch

End of loop over ij -batch

MP2相関エネルギー補正

$$E_{\text{MP2}} = \sum_{ijab} \frac{(ia|jb)[2(ia|jb) - (ib|ja)]}{\epsilon_i + \epsilon_j - \epsilon_a - \epsilon_b}$$

添字の変換: $4N^5$ コスト

$$(ia|jb) = \sum_{\sigma} C_{\sigma b} \left(\sum_{\lambda} C_{\lambda j} \left(\sum_{\nu} C_{\nu a} \left(\sum_{\mu} C_{\mu i} (\mu\nu|\lambda\sigma) \right) \right) \right)$$

【第一版】

- ・ DAXPYとDDOTを使い、
閾値判断を優先
- ・ 実効的演算数を下げる方針、
15年程前のチップでは有効

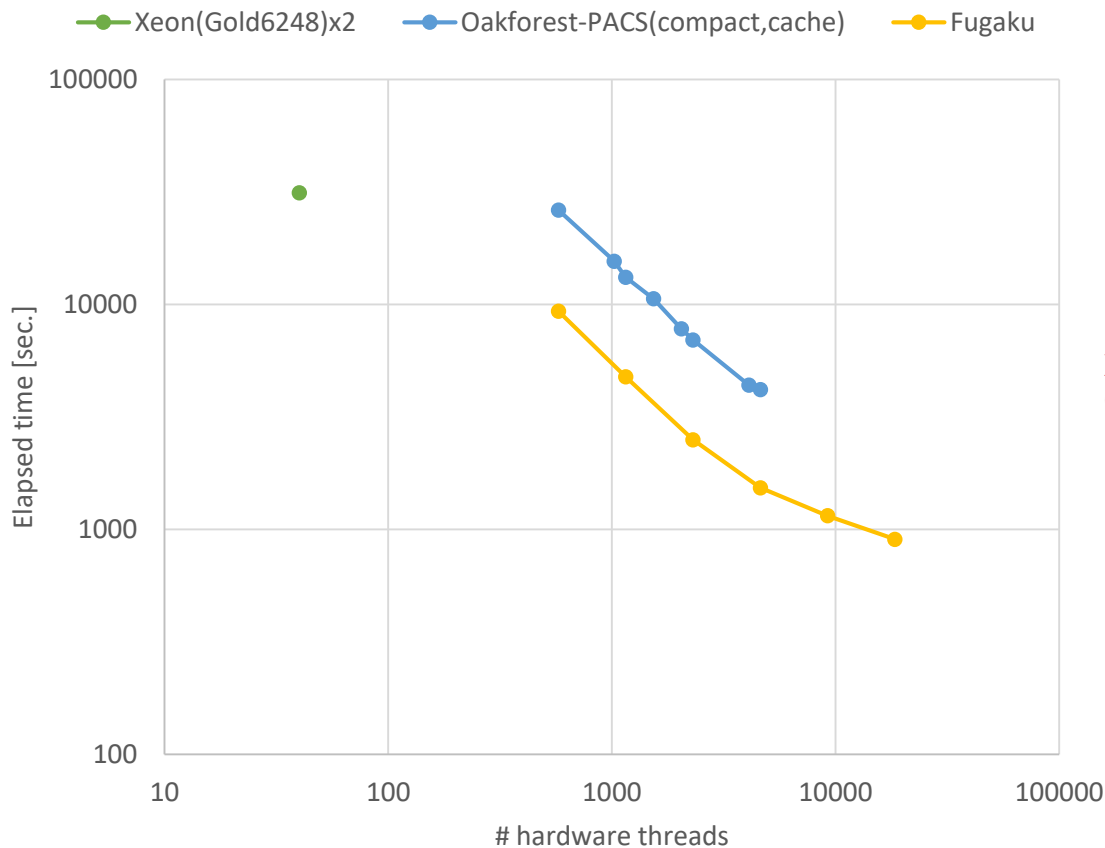
【第二版】

- ・ DGEMMの高性能に期待
- ・ 2段目と4段目をDGEMM処理
がデフォルト
- ・ 最近のスパコンでは4段とも
DGEMMが最も速い

FMO-MP2/6-31G*ジョブのスケーリング

Ver. 1 Rev. 22を使用

6LU7 - FMO2-MP2/6-31G* - Elapsed time



- PDB ID: 6LU7 = SARS-CoV-2 Mpro + N3 ligand の系
- MP2の積分変換は全てDGEMMで実行
- Dimer-ESのCMM近似は (>5のリージョンで使用)
- 「富岳」はOakforest-PACSよりも2.8倍ほど速い

改良の第一弾: Ver. 2 Rev. 4 (jh210036-NAH)

Ver. 1系からVer. 2系へ移行の基本方針

◇Ver. 1の最終リリース版はRev. 22 (2020年6月)

f関数のサポート (直交10成分のみ)

MFMOによる指定領域のみでの相関計算が可能

加速されたPIEDA計算 (Rev. 20 → Rev. 22の理由:「富岳」のコロナPJで改良)

◇Ver. 1からVer. 2への移行 (jh210036-NAHでの活動)

「富岳」の時代を意識

統計的な相互作用解析の重視 ⇔ Ver. 1 Rev. 22比で数倍の高速化

水和タンパク質モデルの扱い ⇔ 数万フラグメントへの対応 (従前は5千程)

機械学習/統計評価/データ科学的な解析が主流に

BioStation Viewerのためのファイル書出しを無効化 (N_f^2 配列の保持が困難)

ログファイルの出力量をオプション指定で大幅に削減可能

◇最新のリリース版 - Ver. 2 Rev. 4 (2021年9月)

A64FXでの高速化 ⇔ FMO-MP2ジョブで1.3~1.5倍の加速

超大規模系への対応 ⇔ 1.1万フラグメントの水和タンパク質モデルが計算可

機械学習のためのデータダンプ機能

動的分極率の算定

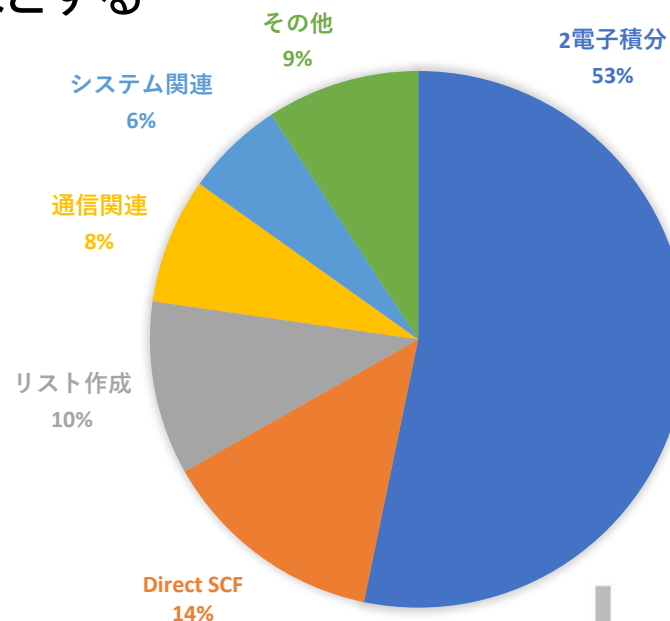
A64FXでのコスト分析 (Ver. 1 Rev. 22)

- ・Ala₉GlyのFMO-MP2/6-31G*のテストジョブ
- ・12スレッド8プロセス (2ノード実行:FX1000)

■ プログラム全体のコスト分布

- 基本プロファイラによるプロセス0番、スレッド0番のコスト分布
- 2電子積分処理が全体の約半分を占める
ただし、81種の処理の総和であるため、
1種あたりのコストは1%前後と非常に小さい
- 通信に関連したコストは8%程度と小さい
- 性能改善に向けたソース分析は以下を対象とする
 - 2電子積分
 - Direct SCF
 - リスト作成

2電子積分 : 81種のサブルーチン(sub_*)のコスト総和
Direct SCF : サブルーチンdirect_scf_gmatのコスト
リスト作成 : 3種のサブルーチン(get_tei_rs_fix,
get_tei_pq_fix, get_ixijcs_to_proc_pqfix)のコスト総和
通信関連 : 通信に関連した処理(putofu_*, opal_*, mca_*)
のコスト総和
システム関連 : ライブラリやOSなどに関連した処理のコスト総和
その他 : 上記以外の処理の総和



A64FX向けの高高速化

■ 2電子積分の生成

- ・ {SSSS, PSSS, SPSS, SSPS, SSSP, PPSS, PSPS, PSSP, SPPS, SPSP, SSPP, DSSS, SDSS, SSDS, SSSD}の積分タイプを(手動で)SIMD化
- ・ OCL指示詞の追加
- ・ コンパイラオプション: -O3 -Knosimd -Kocl
- ・ **改良の効果は20~30%程度** (幾つかの系でテスト: jh210036-NAH課題で実施)
- ・ 最新リリースのVer. 2 Rev. 4に反映 (「GUI用のみ配列」の削除も: **大規模系対応**)

■ Fock行列の構築

- ・ 添字同値性を $(1/2)n$ ($n=1,2,3$)で反映
- ・ **加速は30%程度** (Ver. 2 Rev. 4では未)

■ その他の改良(進行/検討中)

- ・ 「無駄なプリント出力」の抑制オプション (logファイルが1千万行になることも...)
- ・ モノマーSCC反復の外挿法の改良
- ・ 対角化の改良は正準直交化と同時に

```
do p=ixi1,ixi2
  do q=ixj1,ixj2
    do r=ixk1,ixk2
      do s=ixl1,ixl2
        ix=ix+1
        val = sint(ix)
        if((abs(val) <= tv)) cycle
        fock(q,p)=fock(q,p)+dc(s,r)*val*2. d0! クーロン項
        fock(s,r)=fock(s,r)+dc(q,p)*val*2. d0
        fock(r,p)=fock(r,p)-dc(s,q)*val*0. 5d0! 交換項
        fock(s,p)=fock(s,p)-dc(r,q)*val*0. 5d0
        fock(r,q)=fock(r,q)-dc(s,p)*val*0. 5d0
        fock(s,q)=fock(s,q)-dc(r,p)*val*0. 5d0
      end do
    end do
  end do
end do
```

最新の作業版(2022年8月)では**Ver. 1 Rev. 22**比で**速度1.7倍**を達成している

SIMD化した積分ルーチンの例 (sssp)

```

subroutine sub_sssp(zetam, pm, dkabm, etam, qm, dkcdm, &
    ma, mb, mc, md, ngij, ngkl, a, b, c, d, sint, tv)
!
!       Nov. 05, '02
!       T. NAKANO & Y. ABE
!
use constant
use auxiliary_integral_table
use integral_parameter
implicit none
real(8), intent(in)::zetam(*), pm(3,*), dkabm(*), &
    etam(*), qm(3,*), dkcdm(*)
integer, intent(in)::ma, mb, mc, md, ngij, ngkl
real(8), intent(in)::a(3), b(3), c(3), d(3), tv
real(8), intent(out)::sint(*)
!-----
integer npq, nrs, ix
real(8) p(3), q(3), qd(3), pq(3), wq(3), f(0:max_m), &
    dkab, zeta, dkcd, eta, ze, rz, re, rho, a0, tt
integer ts, i, j, k, l, m
real(8) delta, t_inv
real(8) ssss(0:1), f0, f1, qd1, qd2, qd3, wq1, wq2, wq3

sint(1:3) = 0.0_8

!ocl eval
!ocl fp_relaxed
!ocl fp_contract
!ocl noswp
!ocl eval_concurrent
!ocl SIMD

```

```

do npq=1, ngij
  if (abs(dkabm(npq)) > tv) then
    do nrs=1, ngkl
      if (abs(dkabm(npq)*dkcdm(nrs)) > tv) then
        ze = 1.0_8/(zetam(npq)+etam(nrs))
        a0 = dkabm(npq)*dkcdm(nrs)*sqrt(ze)
        rz = etam(nrs)*ze
        re = zetam(npq)*ze
        rho = zetam(npq)*rz

        do i=1, 3
!           qd(i) = qm(i, nrs)-d(i)
!           pq(i) = qm(i, nrs)-pm(i, npq)
!           wq(i) =-re*pq(i)
        end do

        qd1 = qm(1, nrs)-d(1)
        qd2 = qm(2, nrs)-d(2)
        qd3 = qm(3, nrs)-d(3)
        wq1 =-re*pq(1)
        wq2 =-re*pq(2)
        wq3 =-re*pq(3)

```

以下、次頁

SIMD化した積分ルーチンの例(続き)

```

tt = (pq(1)*pq(1)+pq(2)*pq(2)+pq(3)*pq(3))*rho
if (tt <= 38.0_8) then ! Tf = 2*m+36 (for m=1)
  ts = 0.5_8+tt*fmt_inv_step_size
  delta = ts*fmt_step_size-tt

  f(0) = ((fmt_table(3, ts)*inv6*delta &
    + fmt_table(2, ts)*inv2)*delta &
    + fmt_table(1, ts))*delta &
    + fmt_table(0, ts)
  f(1) = ((fmt_table(4, ts)*inv6*delta &
    + fmt_table(3, ts)*inv2)*delta &
    + fmt_table(2, ts))*delta &
    + fmt_table(1, ts)
  f0 = ((fmt_table(3, ts)*inv6*delta &
    + fmt_table(2, ts)*inv2)*delta &
    + fmt_table(1, ts))*delta &
    + fmt_table(0, ts)
  f1 = ((fmt_table(4, ts)*inv6*delta &
    + fmt_table(3, ts)*inv2)*delta &
    + fmt_table(2, ts))*delta &
    + fmt_table(1, ts)

else
  t_inv = inv2/tt
  f(0) = sqrt(pi_over2*t_inv)
  f(1) = t_inv*f(0)
  f0 = sqrt(pi_over2*t_inv)
  f1 = t_inv*f0
end if

```

```

!-----
! ERI code generator Ver. 20020228
! 2002/02/28
! T. Nakano
!
! (sssp)
!
! ssss(0:1)=f(0:1)*a0
! ssss(0)=f0*a0
! ssss(1)=f1*a0
! do l=1, 3
!   sint(l) = sint(l)+qd(l)*ssss(0)+wq(l)*ssss(1)
! end do
! sint(1) = sint(1)+qd1*ssss(0)+wq1*ssss(1)
! sint(2) = sint(2)+qd2*ssss(0)+wq2*ssss(1)
! sint(3) = sint(3)+qd3*ssss(0)+wq3*ssss(1)
!-----
end if
end do
end if
end do
end subroutine sub_sssp

```

Ver. 2 Rev. 4での速度向上の例#1

HIV-1 protease / FMO-MP2/6-31G* / Benchmark 100 nodes @ Fugaku

Ver. 1 Rev. 22

```
=====
## TIME PROFILE
=====
```

```
Elapsed time: Monomer SCF      =          452.4 seconds
Elapsed time: Monomer MP2      =           17.4 seconds
Elapsed time: Monomer (Total)  =          472.7 seconds
Elapsed time: Dimer ES         =           99.7 seconds
Elapsed time: Dimer SCF       =          278.6 seconds
Elapsed time: Dimer MP2       =          269.1 seconds
Elapsed time: Dimer (Total)   =          695.3 seconds
Elapsed time: FMO (Total)     =         1168.0 seconds
```

Time profile

```
Number of cores (total)   =    200
Number of cores (fragment) =     1
THREADS (FRAGMENT)       =    24
```

Total time = 1172.8 seconds

Ver. 2 Rev. 4

```
=====
## TIME PROFILE
=====
```

```
Elapsed time: Monomer SCF      =          354.7 seconds
Elapsed time: Monomer MP2      =           16.0 seconds
Elapsed time: Monomer (Total)  =          373.4 seconds
Elapsed time: Dimer ES         =          109.5 seconds
Elapsed time: Dimer SCF       =          221.7 seconds
Elapsed time: Dimer MP2       =          242.4 seconds
Elapsed time: Dimer (Total)   =          673.4 seconds
Elapsed time: FMO (Total)     =         1046.8 seconds
```

Time profile

```
Number of cores (total)   =    200
Number of cores (fragment) =     1
THREADS (FRAGMENT)       =    24
```

Total time = 1050.2 seconds

- Ver. 2 Rev. 4はA64FX向け積分SIMD化、「不要配列」の整理などを反映済み
- より大型の系ではMP2ジョブで2-5割程度の速度向上
- cc-pVDZの方が短縮長が長いために加速効果が出やすい（他系でも評価）

Ver. 2 Rev. 4での速度向上の例#2

6VXX / FMO-MP2/6-31G* / Benchmark 8 racks @ Fugaku

Ver. 1 Rev. 22

```
=====
## TIME PROFILE
=====
```

```
Elapsed time: Monomer SCF      =          2028.7 seconds
Elapsed time: Monomer MP2      =           15.0 seconds
Elapsed time: Monomer (Total)  =          2068.6 seconds
Elapsed time: Dimer ES        =           353.9 seconds
Elapsed time: Dimer SCF       =           362.4 seconds
Elapsed time: Dimer MP2       =           302.6 seconds
Elapsed time: Dimer (Total)   =          1603.4 seconds
Elapsed time: FMO (Total)     =          3672.1 seconds
```

Time profile

```
Number of cores (total)  =   3072
Number of cores (fragment) =     1

THREADS (FRAGMENT)      =     48
```

Total time = 3759.3 seconds

Ver. 2 Rev. 4

```
=====
## TIME PROFILE
=====
```

```
Elapsed time: Monomer SCF      =          1801.6 seconds
Elapsed time: Monomer MP2      =           14.2 seconds
Elapsed time: Monomer (Total)  =          1839.1 seconds
Elapsed time: Dimer ES        =           314.2 seconds
Elapsed time: Dimer SCF       =           335.7 seconds
Elapsed time: Dimer MP2       =           294.6 seconds
Elapsed time: Dimer (Total)   =          1188.5 seconds
Elapsed time: FMO (Total)     =          3027.7 seconds
```

Time profile

```
Number of cores (total)  =   3072
Number of cores (fragment) =     1

THREADS (FRAGMENT)      =     48
```

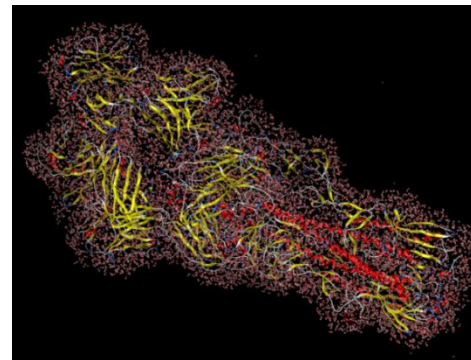
Total time = 3090.8 seconds

- Ver. 2 Rev. 4はA64FX向け積分SIMD化、「不要配列」の整理などを反映済み
- 対Ver. 1 Rev.22で**1.2倍の加速** (cc-pVDZ; 8769.9秒→6356.6秒で1.4倍)

超大規模系への対応例

- ・インフルHA+Fab抗体×2 (PDB id: 1KEN) の水和モデル
- ・フラグメント総数は11307、水と対イオンを含む
- ・「不老」の1ラック、FMO-MP2/cc-pVDZは9.2時間で完走
- ・「富岳」の8ラック、FMO-MP3/cc-pVDZは6.7時間で完走
- ・FMO-MP2では**モノマーSCC**が半分弱のコスト ⇒ 要対応
- ・ダイマー部分で「**謎の時間**」が顕在化 ⇒ 要対応
- ・水クラスターでは2万フラグメントのMP2ジョブも完走確認

従前の2倍の系が計算可能に



```
=====
## TIME PROFILE
=====
```

```
Elapsed time: Monomer SCF      =      14546.6 seconds
Elapsed time: Monomer MP2      =           32.5 seconds
Elapsed time: Monomer (Total)  =     14741.5 seconds
Elapsed time: Dimer ES        =      4021.8 seconds
Elapsed time: Dimer SCF       =      7215.9 seconds
Elapsed time: Dimer MP2       =      2492.4 seconds
Elapsed time: Dimer (Total)   =     18240.6 seconds
Elapsed time: FMO (Total)     =      32982.1 seconds
```

```
## Time profile
```

```
Number of cores (total)  =    384
Number of cores (fragment) =      1
```

```
THREADS (FRAGMENT)      =    48
```

```
Total time =          33120.9 seconds
```

```
=====
## TIME PROFILE
=====
```

```
Elapsed time: Monomer SCF      =      7114.0 seconds
Elapsed time: Monomer MP3      =       343.1 seconds
Elapsed time: Monomer (Total)  =     7532.4 seconds
Elapsed time: Dimer ES        =       534.8 seconds
Elapsed time: Dimer SCF       =       891.4 seconds
Elapsed time: Dimer MP3       =     4265.7 seconds
Elapsed time: Dimer (Total)   =     16306.3 seconds
Elapsed time: FMO (Total)     =     23838.7 seconds
```

```
## Time profile
```

```
Number of cores (total)  =   3072
Number of cores (fragment) =      1
```

```
THREADS (FRAGMENT)      =    48
```

```
Total time =          24203.2 seconds
```

HPCI拠点でのライブラリ整備状況 (2021年12月)

赤:A64FX, 緑: SX-Aurora TSUBASA, 紫: Xeon

■登録サイトと版

- ・北大「Grand Chariot」 : Ver. 1 Rev. 22 & Ver. 2 Rev. 4
- ・東北大「AOBA-A」 : Ver. 1 Rev. 22 (Vectorized version)
- ・JCAHPC「Oakforest-PACS」 : Ver. 1 Rev. 22 (system decommissioned)
- ・東大「Wisteria / Odyssey & Aquarius」 : Ver. 1 Rev. 22 & Ver. 2 Rev. 4
- ・東工大「TSUBAME3.0」 : Ver. 1 Rev. 22 & Ver. 2 Rev. 4
- ・海洋機構「Earth Simulator 4」 : Ver. 1 Rev. 22 (Vectorized version)
- ・分子研「RCCS」 : Ver. 1 Rev. 22 & Ver. 2 Rev. 4
- ・名大「不老 Type I」 : Ver. 1 Rev. 22 & Ver. 2 Rev. 4
- ・阪大「SQUID」 : Ver. 1 Rev. 22 (Vectorized version)
- ・R-CCS「富岳」 : Ver. 1 Rev. 22 & Ver. 2 Rev. 4
- ・計算科学振興財団「FOCUSスパコン」 : Ver. 1 Rev. 22 & Ver. 2 Rev. 4
- ・九大「ITO Subsystem-A」 : Ver. 1 Rev. 22 & Ver. 2 Rev. 4

- ・ Ver. 1 Rev. 22はBioStation Viewerとの関係で当面は併存
- ・ ベクトル化Ver. 2 Rev. 4(準備中)も順次追加登録の予定
- ・ 2022年末にはVer. 2 Rev. 4からRev. 8に更新の予定
- ・ HPCI拠点のスパコン機種変更に応じた対応も適宜行う方針

Ver. 2 Rev. 8へ向けての改良 (jh210036-NAH&jh220010)

Ver. 2 Rev. 4の後の追加改善 (Rev. 8向け)

■ 2021/12/9段階

- 積分生成でSIMD化に加えて**ループ分割**を実施
(SSSS, PSSS, SPSS, SSPS, SSSP, PPSS, PSPS, PSSP, SPPS, SPSP, SSPP, DSSS, SDSS, SSDS, SSSD)
⇒ 積分タイプにも拠るが**20%~50%**の加速
- HF計算のFock行列構築からif文の除去
- 「不老」でのピーク性能比はMP2で2.4~2.8% (MP4だと9.5~10%)

■ 2022/7/13段階

- モノマーSCCのアンダーソン外挿をFock行列から**密度行列のベース**へ
⇒ 系と基底関数にも拠るが反復数を**1,2割削減** (逆に増えることも)

■ その他(試行中)

- IFIEでの「不要プリント」の抑制 (プリント時間が無視できない)
- モノマーSCCのHF部分の簡易積分バッファリング
- 通信量削減のためにダイマーHFの収束判定をスキップ
- 積分アルゴリズムの変更 (HRR方式、SX向けベクトル化版の試行)

積分ルーチンのループ分割例

Sub_ssssの例

```
do npq=1,ngij
  if (abs(dkabm(npq)) > tv) then
    do nrs=1,ngkl
      if (abs(dkabm(npq)*dkcdm(nrs)) > tv) then
        ze = 1.0_8/(zetam(npq)+etam(nrs))
        a0 = dkabm(npq)*dkcdm(nrs)*sqrt(ze)
        rz = etam(nrs)*ze
        rho = zetam(npq)*rz
        tt = ((qm(1,nrs)-pm(1,npq))*(qm(1,nrs)-pm(1,npq)) &
          +(qm(2,nrs)-pm(2,npq))*(qm(2,nrs)-pm(2,npq)) &
          +(qm(3,nrs)-pm(3,npq))*(qm(3,nrs)-pm(3,npq)))*rho
        if (tt <= 36.0_8) then ! Tf = 2*m+36 (for the case of m=0)
          ts = 0.5_8+tt*fmt_inv_step_size
          delta = ts*fmt_step_size-tt
          ssss(0) = (((fmt_table(3,ts)*inv6*delta &
            +fmt_table(2,ts)*inv2)*delta &
            +fmt_table(1,ts))*delta &
            +fmt_table(0,ts))*a0
        else
          ssss(0) = sqrt(pi_over4/tt)*a0
        end if
        sint(1) = sint(1)+ssss(0)
      end if
    end do
  end if
end do
```



```
do npq=1,ngij
  if (abs(dkabm(npq)) <= tv) cycle
  do nrs=1,ngkl
    if (abs(dkabm(npq)*dkcdm(nrs)) <= tv) cycle
    ix = ix + 1
    ze = 1.0_8/(zetam(npq)+etam(nrs))
    xa0(ix) = dkabm(npq)*dkcdm(nrs)*sqrt(ze)
    rz = etam(nrs)*ze
    rho = zetam(npq)*rz
    xtt(ix) = ((qm(1,nrs)-pm(1,npq))*(qm(1,nrs)-pm(1,npq)) &
      +(qm(2,nrs)-pm(2,npq))*(qm(2,nrs)-pm(2,npq)) &
      +(qm(3,nrs)-pm(3,npq))*(qm(3,nrs)-pm(3,npq)))*rho
    enddo
  enddo
  sint(1) = 0.0_8
  do npqrs=1,ix
    tt = xtt(npqrs)
    if (tt <= 36.0_8) then ! Tf = 2*m+36 (for the case of m=0)
      ts = 0.5_8+tt*fmt_inv_step_size
      delta = ts*fmt_step_size-tt
      ssss(0) = (((fmt_table(3,ts)*inv6*delta &
        +fmt_table(2,ts)*inv2)*delta &
        +fmt_table(1,ts))*delta &
        +fmt_table(0,ts))*xa0(npqrs)
    else
      ssss(0) = sqrt(pi_over4/tt)*xa0(npqrs)
    end if
    sint(1) = sint(1)+ssss(0)
  enddo
```

- ・ 満田氏はSIMD化、ループ分割の試行、さらに詳細な性能評価を実施
- ・ 積分ルーチンの今後のチューニングに関する有効指針を提示

改良ssppルーチン#1

```

subroutine sub_sspp(zetam, pm, dkabm, etam, qm, dkcdm, &
    ma, mb, mc, md, ngij, ngkl, a, b, c, d, sint, tv)
!
!       Nov. 06, '02
!       T.NAKANO & Y. ABE
!
use constant
use auxiliary_integral_table
use integral_parameter
implicit none
real(8), intent(in) :: zetam(*), pm(3, *), dkabm(*), &
    etam(*), qm(3, *), dkcdm(*)
integer, intent(in) :: ma, mb, mc, md, ngij, ngkl
real(8), intent(in) :: a(3), b(3), c(3), d(3), tv
real(8), intent(out) :: sint(*)
!-----
integer npq, nrs, i, k, m, ix
real(8) :: pq(3), ze, rz, re, rho, tt

integer ts
real(8) delta, t_inv, zssss
real(8) :: f0, f1, f2
real(8) ssss(0:2), ssps(1:3, 0:1), sspp(1:3, 1:3, 0:0)

real(8) :: xqc(ngij*ngkl, 3), xqd(ngij*ngkl, 3), xwq(ngij*ngkl, 3)
real(8) :: xtt(ngij*ngkl), xre(ngij*ngkl), xeta2(ngij*ngkl), xa0(ngij*ngkl)
integer :: npqrs

```

改良ssppルーチン#2

```

ix = 0
!ocl eval
!ocl fp_relaxed
!ocl fp_contract
!ocl noswp
!ocl eval_concurrent
!ocl SIMD
do npq=1,ngij
  if (abs(dkabm(npq)) <= tv) cycle
  do nrs=1,ngkl
    if (abs(dkabm(npq)*dkcdm(nrs)) <= tv) cycle
    ix = ix + 1

    ze  = 1.0_8/(zetam(npq)+etam(nrs))
    rz  = etam(nrs)*ze
    re  = zetam(npq)*ze
    rho = zetam(npq)*rz
    do i=1,3
      pq(i) = qm(i,nrs)-pm(i,npq)
      xqc(ix,i) = qm(i,nrs)-c(i)
      xqd(ix,i) = qm(i,nrs)-d(i)
      xwq(ix,i) = -re*pq(i)
    end do

    xtt(ix) = (pq(1)*pq(1)+pq(2)*pq(2)+pq(3)*pq(3))*rho
    xre(ix) = re
    xa0(ix)  = dkabm(npq)*dkcdm(nrs)*sqrt(ze)
    xeta2(ix) = 0.5_8/etam(nrs)

  enddo
enddo

```

改良ssppルーチン#3

```

ssss(0)=f0*xa0(npqrs)
ssss(1)=f1*xa0(npqrs)
ssss(2)=f2*xa0(npqrs)

```

```

do m=0, 1
  ssps(1,m)=xqc(npqrs,1)*ssss(m)+xwq(npqrs,1)*ssss(m+1)
  ssps(2,m)=xqc(npqrs,2)*ssss(m)+xwq(npqrs,2)*ssss(m+1)
  ssps(3,m)=xqc(npqrs,3)*ssss(m)+xwq(npqrs,3)*ssss(m+1)
end do

```

```

do k=1, 3
  sspp(k,1,0)=xqd(npqrs,1)*ssps(k,0)+xwq(npqrs,1)*ssps(k,1)
  sspp(k,2,0)=xqd(npqrs,2)*ssps(k,0)+xwq(npqrs,2)*ssps(k,1)
  sspp(k,3,0)=xqd(npqrs,3)*ssps(k,0)+xwq(npqrs,3)*ssps(k,1)
end do

```

```

zssss=xeta2(npqrs)*(ssss(0)-xre(npqrs)*ssss(1))

```

```

sspp(1,1,0)=sspp(1,1,0)+zssss
sspp(2,2,0)=sspp(2,2,0)+zssss
sspp(3,3,0)=sspp(3,3,0)+zssss

```

```

sint(1) = sint(1)+sspp(1,1,0)
sint(2) = sint(2)+sspp(1,2,0)
sint(3) = sint(3)+sspp(1,3,0)
sint(4) = sint(4)+sspp(2,1,0)
sint(5) = sint(5)+sspp(2,2,0)
sint(6) = sint(6)+sspp(2,3,0)
sint(7) = sint(7)+sspp(3,1,0)
sint(8) = sint(8)+sspp(3,2,0)
sint(9) = sint(9)+sspp(3,3,0)

```

```

enddo

```

```

end subroutine sub_sspp

```

```

sint(1:9)=0.0_8
!ocl eval
!ocl fp_relaxed
!ocl fp_contract
!ocl noswp
!ocl eval_concurrent
!ocl SIMD
do npqrs = 1, ix
  tt = xtt(npqrs)
  if (tt <= 40.0_8) then ! Tf=2*m+36
    ts=0.5_8+tt*fmt_inv_step_size
    delta=ts*fmt_step_size-tt
    f0=((fmt_table(03,ts)*inv6*delta &
      +fmt_table(02,ts)*inv2)*delta &
      +fmt_table(01,ts))*delta &
      +fmt_table(00,ts)
    f1=((fmt_table(04,ts)*inv6*delta &
      +fmt_table(03,ts)*inv2)*delta &
      +fmt_table(02,ts))*delta &
      +fmt_table(01,ts)
    f2=((fmt_table(05,ts)*inv6*delta &
      +fmt_table(04,ts)*inv2)*delta &
      +fmt_table(03,ts))*delta &
      +fmt_table(02,ts)
  else
    t_inv=inv2/tt
    f0=sqrt(pi_over2*t_inv)
    f1=t_inv*f0
    f2=t_inv*3.0_8*f1
  end if
end do

```

「不老」でのジョブ時間の比較#1

Ala9Gly - FMO-MP2 (MP2 - all DGEMM) / total job time / 10 fragments

12 threads - 8 process @ 2 nodes

	Ver. / Rev.	Date	Sec.	Min.	Acc.
6-31G*	V1 R22	2020/6/3	134.4	2.24	1.00
	V2 R4	2021/9/16	116.6	1.94	1.15
	V2 R4改	2021/12/9	96.4	1.61	1.39
	V2 R4改	2022/7/13	91.9	1.53	1.46
	V2 R4改	2022/8/9	76.6	1.28	1.75
cc-pVDZ	V1 R22	2020/6/3	303.6	5.06	1.00
	V2 R4	2021/9/16	240.4	4.01	1.26
	V2 R4改	2021/12/9	187.8	3.13	1.62
	V2 R4改	2022/7/13	189.5	3.16	1.60
	V2 R4改	2022/8/9	159.2	2.65	1.91

Chignolin - FMO-MP2 (MP2 - all DGEMM) / total job time / 10 fragments

12 threads - 8 process @ 2 nodes

	Ver. / Rev.	Date	Sec.	Min.	Acc.
6-31G*	V1 R22	2020/6/3	719.6	11.99	1.00
	V2 R4	2021/9/16	647.3	10.79	1.11
	V2 R4改	2021/12/9	547.8	9.13	1.31
	V2 R4改	2022/7/13	500.9	8.35	1.44
	cc-pVDZ	V1 R22	2020/6/3	1738.8	28.98
	V2 R4	2021/9/16	1491.5	24.86	1.17
	V2 R4改	2021/12/9	1230.1	20.50	1.41
	V2 R4改	2022/7/13	1226.9	20.45	1.42

- ・ SIMD化とループ分割の併用は有効
- ・ 基底関数の短縮の長いcc-pVDZの方が加速は顕著
- ・ Ala₉GlyではHFでの積分バッファリングを試行(最下段)
- ・ 同じ10残基(フラグメント)でも効果が異なる

「不老」でのジョブ時間の比較#2

Trp-Cage - FMO-MP2 (MP2 - all DGEMM) / total job time / 20 fragments

24 threads - 20 process @ 10 nodes

	Ver. / Rev.	Date	Sec.	Min.	Acc.
6-31G*	V1 R22	2020/6/3	469.6	7.83	1.00
	V2 R4	2021/9/16	413.9	6.90	1.13
	V2 R4改	2021/12/9	344.2	5.74	1.36
	V2 R4改	2022/7/13	294.2	4.90	1.60
cc-pVDZ	V1 R22	2020/6/3	1059.9	17.67	1.00
	V2 R4	2021/9/16	876.1	14.60	1.21
	V2 R4改	2021/12/9	706.7	11.78	1.50
	V2 R4改	2022/7/13	622.0	10.37	1.70

Crambin - FMO-MP2 (MP2 - all DGEMM) / total job time / 43 fragments

24 threads - 43 process @ 22 nodes

	Ver. / Rev.	Date	Sec.	Min.	Acc.
6-31G*	V1 R22	2020/6/3	572.6	9.54	1.00
	V2 R4	2021/9/16	509.4	8.49	1.12
	V2 R4改	2021/12/9	444.5	7.41	1.29
	V2 R4改	2022/7/13	457.7	7.63	1.25
cc-pVDZ	V1 R22	2020/6/3	1507.6	25.13	1.00
	V2 R4	2021/9/16	1232.6	20.54	1.22
	V2 R4改	2021/12/9	1005.2	16.75	1.50
	V2 R4改	2022/7/13	973.0	16.22	1.55

・モノマーSCCのアンダーソン外挿(密度)は効く場合も多々ある(「必ず」ではない)

「不老」でのジョブ時間の比較#3

200~400残基のタンパク質が応用計算の主対象になっている

HIV-Protease - FMO-MP2 (MP2 - all DGEMM) / total job time / 203 fragments

24 threads - 204 process @ 102 nodes

	Ver. / Rev.	Date	Sec.	Min.	Acc.
6-31G*	V1 R22	2020/6/3	971.0	16.18	1.00
	V2 R4	2021/9/16	866.0	14.43	1.12
	V2 R4改	2021/12/9	777.8	12.96	1.25
	V2 R4改	2022/7/13	741.9	12.37	1.31
cc-pVDZ	V1 R22	2020/6/3	2101.4	35.02	1.00
	V2 R4	2021/9/16	1737.2	28.95	1.21
	V2 R4改	2021/12/9	1526.5	25.44	1.38
	V2 R4改	2022/7/13	1564.4	26.07	1.34

SARS-CoV-2 Mainprotease - FMO-MP2 (MP2 - all DGEMM) / total job time / 395 fragments

24 threads - 384 process @ 192 nodes

	Ver. / Rev.	Date	Sec.	Min.	Acc.
6-31G*	V1 R22	2020/6/3	996.8	16.61	1.00
	V2 R4	2021/9/16	874.2	14.57	1.14
	V2 R4改	2021/12/9	793.6	13.23	1.26
	V2 R4改	2022/7/13	741.6	12.36	1.34
cc-pVDZ	V1 R22	2020/6/3	2230.6	37.18	1.00
	V2 R4	2021/9/16	1882.0	31.37	1.19
	V2 R4改	2021/12/9	1633.3	27.22	1.37
	V2 R4改	2022/7/13	1475.6	24.59	1.51

- ・ 全体としてcc-pVDZ基底の方が優位に加速が得られる場合が多い
- ・ 「富岳」でも少しテストしているが、加速は(やや)大きめに出る

まとめ

現状(2022年8月)のまとめ、今後の方向性

■高速化

- ・2電子積分のSIMD化とループ分割、Fock行列構築の改良、モノマーSCC加速
 - ⇒ MP2ジョブでは(従前比で) **1.5~1.7倍** (改造部分のみは**1.8倍~2.2倍**)
 - ⇒ 22年度内に**2倍**をpushしたい (Ver. 2 Rev. 8のリリースに間に合わせる)

■大規模化

- ・可視化用の「不要配列」の削除
 - ⇒ **1.1万フラグメント**のMP3計算も可 (残基数2.2千の水和タンパク質)

■今後

- ・2電子積分のHRRアルゴリズムの検討
 - ⇒ 検討&テスト中 (**演算数は低減**、ただループの最適化は今後)
- ・SX向けベクトル化積分の転用
 - ⇒ 手動の修正は不可避 (ループ長は長い、ただ単なる移植では遅い)
- ・複数の積分計算ルーチンの使い分け
 - ⇒ VRR/HRRなどの**混成使用** (系や基底に拠る自動選択の可能性も)
- ・タンパク質の水和モデルでの水のクラスター化の前処理
 - ⇒ **実効フラグメント数**を削減 (3.3千残基のSタンパク質の計算で試行)

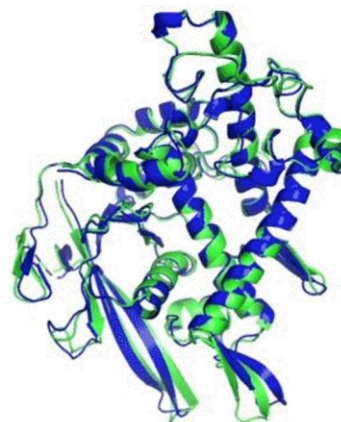
jh220010課題での別の話題; AlphaFold2

■特徴

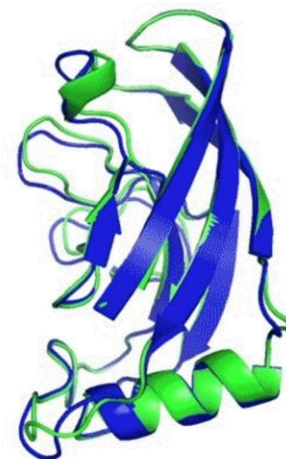
- タンパク質の立体構造を**高精度かつ短時間**に予測可能な公開ソフト
→ 2020年11月のCASP14コンテストで圧勝（9割近い正答）
- 深層学習技術**を駆使
- アミノ酸1文字表記の配列**のみが基本的な入力データ（FASTA形式）
- 小規模のサーバでも動作可能、PDB形式で出力
→ **SSD**や**GPU**があるとベター

■計算処理のポイント

- 「**類縁配列は類縁構造を持つ**」と仮定
- 大規模データベース検索**
→ 疎水性コアに注目、MSAの作成
→ 実はココが**律速段階**
- 深層学習**の核はEvoformer処理
→ 物理化学的エネルギー計算無し



T1037 / 6vr4
90.7 GDT
(RNA polymerase domain)



T1049 / 6y4f
93.3 GDT
(adhesin tip)

■「不老 Type II」での利用

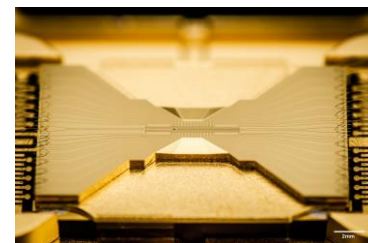
- 大島先生、森脇先生（東大農）が21年秋に導入
新型コロナの**変異株のモデリング**に使用

● Experimental result
● Computational prediction

jh220010課題での別の話題; cuQuantum

■量子コンピュータの概況

- ・量子コンピュータ
 - 方式: 量子ゲートと量子アニーリング型
 - デバイス: 超電導、イオントラップ、中性原子、シリコン、光
 - トレンド: NISQからFTQCへ、IBMは数千ビットの計画発表
- ・量子シミュレータ
 - **ノイズの問題無し**、多数存在、アルゴリズム開発に必携
 - NVIDIAの**cuQuantum**はGPU利用で高速で大規模対応
- ・量子化学計算は量子コンピュータの有力なアプリ
 - 国内外で研究開発が盛ん
 - VQE: 量子-古典混成の代表的な手法
 - PSA: NISQからFTQCへの流れで実用化か
 - テンソル分解や分割&統合系の手法も要注目



<https://ionq.com/>

■「不老 Type II」での試行

- ・ cuQuantumのインストールと利用 (NVIDIA森野氏、大島先生が整備)
 - PSA系の量子化学シミュレーションで使用中 (杉崎先生 (大阪公大))
 - 「9量子ビットでは高速化は3.5倍、**19量子ビットでは32倍**」

ABINIT-MPによるFMO計算のロードマップ



核内受容体(ER)
~300残基

インフルエンザHA
抗原抗体系~1000残基

インフルエンザHA 3量体
抗原抗体系~2400残基

結晶 - ペプチド複合系
~(SiO₂)₂₅₀-6残基-水和

粗視化MD用
パラメータ
~数万サンプル

新型コロナウイルス
抗原抗体系~5300残基

水和DNA
12塩基対+2500wtr

mFruits

EGFR
チロシンキナーゼ

インフルエンザNA
タミフル~400残基

リガンド水和
10Å水和層

分子固体
~千個単位

粗視化→原子還元構造
~1万原子×サンプル数

計算 MP2 CIS/CIS(D) MP3 CD CCSD(T) FMO4 Dimer-ES CMM LRD

構造 PDB一点計算/
モデル埋戻し FMO-MD MP2(p-opt) FMO-DPD MD生成
多構造

解析 IFIE CAFI FILM BSSE FMO4-IFIE PIEDA SVD 統計/ML

電荷、溶媒効果 ESP/RESP NPA SCIFIE PB(SA) 大型液滴